



RESEARCH PAPER

OPEN ACCESS

## Effect of *Piriformospora indica* symbiosis on growth and physiological indices of maize (*Zea mays L.*) seedlings exposed to microplastic particles and water deficit stress

Maryam Saman<sup>1\*</sup> and Ali Sepehri<sup>2</sup>

1. Assistant Professor, Department of Agricultural Sciences, Faculty of Technical and Engineering, Payame Noor University, Tehran, Iran (\* Corresponding author: [maryam.saman@pnu.ac.ir](mailto:maryam.saman@pnu.ac.ir))

2. Associate Professor, Department of Plant Production and Genetics, Faculty of Agriculture, Bu-Ali Sina University, Hamedan, Iran

---

### Comprehensive abstract

#### Introduction

Microplastic contamination of agricultural lands is one of the major environmental problems that has recently gained attention. The decomposition of plastic mulches and equipment used in irrigation systems, the use of sludge-based fertilizers from wastewater purification, contaminated irrigation water, and the proximity of fields to busy roads are among the most important factors in the contamination of agricultural lands with plastic particles. The presence of microplastics in the soil with particle sizes from 100 nm to five mm causes abrasion of the root surface of plants, and physical damage to plant roots will increase with increasing particle size. Moreover, drought stress, as one of the most important factors limiting crop production, is increasing alarmingly, especially due to global climate change. Therefore, the present study was conducted to investigate the possibility of using the biological potential of the fungus *Piriformospora indica* to reduce the negative effects of stress caused by polyvinyl chloride (PVC) microplastic particles and water deficiency in maize crop.

#### Materials and methods

The experiment was conducted as factorial experiment in a completely randomized design with three replications in the research greenhouse of Bu-Ali Sina University, Hamadan, Iran, in 2023. The experimental factors included the addition of three concentrations of polyvinyl chloride microplastics to the soil (0, 0.1, and 1%), *P. indica* fungus at two levels (inoculation and non-inoculation), and water deficit stress at three levels (full irrigation, and irrigation at 75% and 50% of field capacity, as non-stress, moderate stress and severe stress, respectively). Germinated maize seeds (cv. 'Tah') were inoculated with *P. indica*, planted in pots containing three kg of soil, and placed in greenhouse conditions. Water deficit stress was applied 14 days after planting. One month after planting, photosynthetic parameters and relative leaf water content were measured. The plants were then harvested, and the roots were assessed under a microscope to determine the colonization percentage. Proline content, total chlorophyll content, and plant dry matter were also measured.

#### Research findings

The results showed that the presence of 1% microplastic in the soil, similar to water deficit stress, significantly reduced relative leaf water content, total chlorophyll content, photosynthetic indices, and shoot dry matter of maize seedlings. Although the percentage of root colonization of maize seedlings by *P. indica* fungus decreased by 16.9%, 30.9%, and 47.1% under 1% microplastic contamination and water deficit at 75% and 50% of field capacity conditions compared to the control, respectively, the beneficial effects of the fungus on plant growth and measured parameters was still evident, so that the relative leaf water content, chlorophyll content, net photosynthesis rate, and shoot dry weight of



inoculated plants under the highest level of water deficit stress and in the presence of 1% microplastic were (8.2 and 9), (20.5 and 27), (17.9 and 17.8) and (43.5 and 46.8) percent higher than those of uninoculated plants, respectively. Moreover, the proline content of the plants also increased significantly in the presence of the fungus.

### Conclusion

The results of this study showed that the presence of *P. indica* fungus improved the growth and photosynthetic parameters of maize seedlings under microplastic particles and water deficit stress conditions. Thus, utilizing the potential of this fungus can be considered to reduce the negative effects of these stresses.

**Keywords:** Chlorophyll content, Endophytic fungus, Polyvinyl chloride (PVC), Proline content, Relative water content, Root colonization

---

Received: March 2, 2025

Accepted: June 30, 2025

### Cite this article:

Saman, M., and Sepehri, A. (2025). Effect of *Piriformospora indica* symbiosis on growth and physiological indices of maize (*Zea mays* L.) seedlings exposed to microplastic particles and water deficit stress. *Cereal Research*, 15(2), 167-182. doi: [10.22124/CR.2025.30052.1860](https://doi.org/10.22124/CR.2025.30052.1860).



## تأثیر همزیستی قارچ *Piriformospora indica* بر رشد و شاخص‌های فیزیولوژیک گیاه‌چه‌های ذرت (*Zea mays L.*) در معرض ذرات میکروپلاستیک و تنش کمبود آب

مریم ثمن<sup>۱\*</sup> و علی سپهری<sup>۲</sup>

۱- استادیار، گروه علوم کشاورزی، دانشکده فنی و مهندسی، دانشگاه پیام نور، تهران، ایران (\*\*) نویسنده مسئول:

(maryam.saman@pnu.ac.ir)

۲- دانشیار، گروه مهندسی تولید و زنتیک گیاهی، دانشکده کشاورزی، دانشگاه بوعلی سینا، همدان، ایران

### چکیده جامع

مقدمه: آلودگی اراضی زراعی به ذرات میکروپلاستیک یکی از مشکلات مهم زیستمحیطی است که اخیراً مورد توجه قرار گرفته است. تجزیه مالجها و تجهیزات پلاستیکی مورد استفاده در سیستم‌های آبیاری، مصرف کودهای مبتنی بر لجن حاصل از تصفیه پس‌آب، آب آبیاری آلوده و مجاورت مزارع با جاده‌های پرتردد، از جمله مهم‌ترین عوامل آلودگی زمین‌های کشاورزی به ذرات پلاستیک هستند. حضور میکروپلاستیک‌ها با اندازه ذرات ۱۰۰ نانومتر تا پنج میلی‌متر در خاک، سبب سایش سطح ریشه گیاهان می‌شود و هر چه اندازه این ذرات بزرگ‌تر باشد، آسیب فیزیکی وارد به ریشه بیشتر خواهد بود. از سوی دیگر، تنش خشکی به‌ویژه در اثر تغییرات اقلیمی، به عنوان یکی از مهم‌ترین عوامل محدود کننده تولید گیاهان زراعی، به طور نگران کننده‌ای در حال افزایش است. از این‌رو، پژوهش حاضر اجرا شد که هدف از آن، بررسی امکان استفاده از پتانسیل زیستی قارچ *Piriformospora indica* در جهت کاهش اثرات منفی تنش ناشی از ذرات میکروپلاستیک پلی وینیل کلراید (PVC) و تنش کمبود آب در گیاه ذرت بود.

مواد و روش‌ها: آزمایش به صورت فاکتوریل در قالب طرح پایه کاملاً تصادفی با سه تکرار در سال ۱۴۰۲ در گلخانه تحقیقاتی دانشگاه بوعلی سینا همدان اجرا شد. تیمارهای آزمایشی شامل افزودن سه غلظت میکروپلاستیک پلی وینیل کلراید به خاک (صفر، ۱/۰ و یک درصد)، قارچ *P. indica* در دو سطح (تلقیح و عدم تلقیح) و تنش کمبود آب در سه سطح (آبیاری کامل و آبیاری در ۷۵ و ۵۰ درصد ظرفیت زراعی به ترتیب به عنوان بدون تنش، تنش متوسط و تنش شدید) بودند. بذرهای ذرت رقم طه پس از جوانهزنی، با قارچ *P. indica* تلقیح و در گلدان‌هایی با ظرفیت سه کیلوگرم خاک کشت و در گلخانه قرار داده شدند. تنش کمبود آب ۱۴ روز پس از کاشت اعمال شد. یک ماه پس از کاشت، پaramترهای فتوسنتزی و محتوای رطوبت نسبی برگ اندازه‌گیری و سپس گیاهان برداشت شدند و ریشه گیاهان به منظور تعیین درصد کلوبیزاسیون در زیر میکروسکوپ مورد بررسی قرار گرفت. محتوای پرولین، محتوای کلروفیل کل و ماده خشک گیاهان نیز اندازه‌گیری شد.

یافته‌های تحقیق: نتایج نشان داد که افزودن یک درصد میکروپلاستیک به خاک مشابه تنش کمبود آب، محتوای رطوبت نسبی برگ، محتوای کلروفیل کل، شاخص‌های فتوسنتزی و ماده خشک اندام هوایی گیاه‌چه‌های ذرت را به‌طور معنی‌داری کاهش داد. اگرچه درصد کلوبیزاسیون ریشه گیاه‌چه‌های ذرت توسط قارچ *P. indica* بر اثر افزودن یک درصد میکروپلاستیک به خاک و همچنین به‌دبیال کاهش رطوبت خاک به ۷۵ و ۵۰ درصد ظرفیت مزرعه به ترتیب ۳۰/۹، ۱۶/۹ و ۴۷/۱ درصد نسبت

به شاهد کاهش یافت، اما تأثیر مثبت قارچ بر رشد و پارامترهای مورد بررسی در این شرایط همچنان مشهود بود، بهطوری که محتوای رطوبت نسبی، محتوای کلروفیل، سرعت فتوسنتر خالص و وزن خشک اندام‌های هوایی گیاهان تلقیح شده با قارچ تحت شرایط بالاترین سطح تنش کمبود آب و در حضور یک درصد میکروپلاستیک، به ترتیب (۸/۲ و ۹)، (۲۰/۵ و ۲۷)، (۱۷/۹ و ۱۷/۸) و (۴۳/۵ و ۴۶/۸) درصد بیشتر از گیاهان تلقیح نشده بود. علاوه بر این، محتوای پرولین گیاهان نیز در حضور قارچ به طور معنی‌داری افزایش یافت.

**نتیجه‌گیری:** نتایج این مطالعه نشان داد که حضور قارچ *P. indica* موجب افزایش رشد و بهبود پارامترهای فتوسنترزی گیاهچه‌های ذرت تحت شرایط تنش کمبود آب و ذرات میکروپلاستیک شد. به این ترتیب، استفاده از این قارچ به منظور تعديل اثرات منفی تنش‌های مذکور می‌تواند مورد توجه قرار گیرد.

**واژه‌های کلیدی:** پلی‌وینیل کلرايد، رطوبت نسبی برگ، قارچ اندوفیت، کلونیزه شدن ریشه، محتوای پرولین، محتوای کلروفیل

---

تاریخ پذیرش: ۱۴۰۴/۰۴/۰۹

تاریخ دریافت: ۱۴۰۳/۱۲/۱۷

#### نحوه استناد به این مقاله:

ثمن، مریم، و سپهری، علی. (۱۴۰۴). تأثیر همزیستی قارچ *Piriformospora indica* بر رشد و شاخص‌های فیزیولوژیک گیاهچه‌های ذرت (Zea mays L.) در معرض ذرات میکروپلاستیک و تنش کمبود آب. *تحقیقات غلات*، ۱۵(۲)، ۱۶۷-۱۸۲.  
doi: [10.22124/CR.2025.30052.1860](https://doi.org/10.22124/CR.2025.30052.1860)

**مقدمه**

می‌شود که این موضوع کاهش بیشتر ظرفیت فتوسنترزی را به دنبال دارد (Xu *et al.*, 2022). کاهش محتوای کلروفیل، پراکسیداسیون لیپیدهای غشایی و اختلال در سنتز پروتئین‌ها و فعالیت غشای سلولی از جمله اثرات مهم دیگر تنفس کمبود آب است که در نهایت منجر به کاهش رشد گیاه می‌شود (Zia *et al.*, 2021).

طی سالیان اخیر، تأثیر استقرار رابطه همزیستی بین گیاهان و برخی از ریزجانداران بر افزایش مقاومت گیاهان نسبت به تنفس‌های مختلف محیطی، مورد توجه قرار گرفته است. به نظر مرسد استفاده از این دسته از ریزجانداران می‌تواند نقش مهمی در حفظ و تقویت بهره‌وری فعالیت‌های کشاورزی داشته باشد (Harman, 2011).

قارچ *Piriformospora (Serendipita) indica* که به راسته *Sebacinales* (بازیدیومایکوتا) تعلق دارد یکی از این ریزجانداران مفید است. این قارچ از لحاظ فیلوزنیک به قارچ‌های مایکوریزایی ارکید و اریکوئید بسیار نزدیک است (Gill *et al.*, 2016)، و به دلیل وجود مشترک زیاد، یک قارچ شبه مایکوریزی نامیده می‌شود، اما این مزیت را دارد که در محیط مصنوعی نیز قابل کشت است (Aslam *et al.*, 2019).

قادر است ریشه بسیاری از *P. indica* (Gill *et al.*, 2019) تکلیف و دولپه را کلونیزه کند و سبب بهبود رشد و عملکرد شود. علاوه بر این، ثابت شده است که همزیستی با این قارچ، تحمل گیاهان به تنفس‌های محیطی را افزایش می‌دهد (Gill *et al.*, 2016; Aslam *et al.*, 2019).

تحریک سیستم دفاع آنتی‌اسیدانی و غیر آنتی‌اسیدانی و افزایش بیان ژن‌های مرتبط با تنفس، از جمله دلایل افزایش تحمل گیاهان همزیست با این قارچ نسبت به تنفس محسوب می‌شود (Gill *et al.*, 2016). با توجه به آلیندگی ناشی از ذرات پلاستیک و با در نظر گرفتن نقش مهم گیاه ذرت در تأمین امنیت غذایی پایدار به همراه رشد سریع ریشه و اندام‌های هوایی، تولید زیست‌توده زیاد و حساسیت بالای آن به تنفس کمبود آب، پژوهش حاضر انجام شد که هدف از آن، بررسی تأثیر همزیستی قارچ *P. indica* بر رشد و شاخص‌های فتوسنترزی و فیزیولوژیک گیاه‌چهای ذرت در معرض ذرات میکروپلاستیک پلی‌وینیل کلراید (PVC) طی تنفس کمبود آب بود.

**مواد و روش‌ها**

آزمایش به صورت فاکتوریل بر پایه طرح کاملاً تصادفی با سه تکرار در گلخانه تحقیقاتی و آزمایشگاه فیزیولوژیک گیاهان زراعی دانشکده کشاورزی دانشگاه بوعلی سینا

کاربرد گسترده ترکیبات و مصنوعات پلاستیکی در جوامع مختلف و افزودن مقادیر انبوهی از زباله‌های پلاستیکی به محیط زیست طی چند دهه اخیر، باعث شده است آلدگی خاک‌های زراعی به ذرات میکروپلاستیک به یکی از مهم‌ترین مشکلات زیستمحیطی تبدیل شود و تولید محصولات زراعی را با مخاطره جدی مواجه کند (He *et al.*, 2021). تجزیه مالج‌ها و تجهیزات پلاستیکی مورد استفاده در سیستم‌های آبیاری، مصرف کودهای مبتنی بر لجن حاصل از تصفیه پس‌آب، آب آبیاری آلدگ و مجاورت مزارع با جاده‌های پرتردد از جمله مهم‌ترین عوامل آلدگی زمین‌های کشاورزی به ذرات پلاستیک هستند (Cao *et al.*, 2021). حضور میکروپلاستیک‌ها (ذرات پلاستیکی با اندازه ۱۰۰ نانومتر تا پنج میلی‌متر) در خاک سبب سایش سطح ریشه گیاهان می‌شود و هر چه اندازه ذرات بزرگ‌تر باشد، آسیب فیزیکی وارد به ریشه بیش‌تر خواهد بود (Hartmann *et al.*, 2022).

چسبیدن این ذرات به لایه اپیدرم ریشه و انباست آن‌ها در ناحیه کورنکس نیز جذب آب و عناصر غذایی را مختل می‌کند (Bosker *et al.*, 2019). این موضوع در نهایت از طریق تأثیر منفی بر فرایند فتوسنترز، رشد و عملکرد گیاه را کاهش می‌دهد (Dong *et al.*, 2020).

مشخص شده است که افزایش تولید گونه‌های فعال اکسیژن (ROS) و وقوع تنفس اکسیداتیو یکی از مهم‌ترین اثرات منفی ناشی از سمیت ذرات میکروپلاستیک است که از طریق اکسیداسیون پروتئین‌ها، اسیدهای نوکلئیک و لیپیدها، سبب تخرب اندامک‌های مختلف سلول و اختلال در متابولیسم گیاه می‌شود (Gong *et al.*, 2021).

تغییر در ساختار و ترکیب جوامع میکروبی خاک و تأثیر بر باکتری‌ها و قارچ‌های همزیست از جمله دیگر عوارض ذرات میکروپلاستیک است که رشد و نمو گیاهان را تحت تأثیر قرار می‌دهد (Hartmann *et al.*, 2022).

از سوی دیگر پیش‌بینی‌ها نشان می‌دهد در بسیاری از نقاط جهان، شدت و میزان وقوع دوره‌های خشکی ناشی از افزایش دما و کمبود آب رو به افزایش است که تهدیدی جدی برای تولید محصولات کشاورزی محسوب می‌شود (Zia *et al.*, 2021).

بسته شدن روزنه‌ها طی تنفس کمبود آب منجر به کاهش سرعت تعرق، کاهش جذب دی‌اسید کربن و کاهش رشد و عملکرد گیاه می‌شود. از سوی دیگر، برهم‌خوردن تعادل بین واکنش نوری و مسیر تثبیت دی‌اسید کربن سبب آسیب اکسیداتیو فتوسیستم II

فلورستن تأمین شد. تنش کمبود آب ۱۴ روز پس از کاشت بذرها اعمال شد. برای این منظور، پیش از شروع آزمایش، ابتدا خاک هر گلدان به مدت ۴۸ ساعت در داخل آون در دمای ۷۲ درجه سلسیوس قرار گرفت و وزن خاک خشک به دست آمد. سپس با افزودن تدریجی آب به خاک خشک موجود در گلدان، خاک به وضعیت اشباع رسید و پس از خروج کامل آب ثقلی، گلدان توزین شد. پس از کسر وزن گلدان و خاک خشک، مقدار آب نگهداری شده در ظرفیت زراعی محاسبه شد و بر این اساس سطوح مختلف تنش کمبود آب با توزین روزانه گلدان‌ها و اضافه نمودن آب مصرفی بر اثر تبخیر و تعرق اعمال شد.

حدود پنج روز بعداز کاشت، همه بوته‌ها سبز شدند. برای بررسی عملکرد فتوستنتزی گیاه ۳۰ روز پس از کاشت ۲۵ روز پس از سبز شدن، میزان فتوستنتر خالص، هدایت روزنه‌ای و سرعت تعرق با استفاده از دستگاه آتالیز گازی (Lci, ADC Bioscific Ltd. England) مادون قرمز (Lci, ADC Bioscific Ltd. England) اندازه‌گیری شد. اندازه‌گیری روی جوانترین برگ کاملاً توسعه یافته انجام شد و مساحت بخشی از برگ که در داخل محفظه دستگاه قرار گرفت، معادل ۶/۲۵ سانتی‌متر مربع بود. اندازه‌گیری‌ها در محیط گلخانه در فاصله زمانی ۹ تا ۱۱ صبح و در شدت نور بیش از ۱۰۰۰ میکرومول فوتون در متر مربع در ثانیه صورت گرفت. سپس گیاهان برداشت و پس از جadasازی ریشه و اندام هوایی و تهیه نمونه برگی تازه، جهت اندازه‌گیری وزن خشک اندام هوایی به مدت ۷۲ ساعت در آون در دمای ۷۰ درجه سلسیوس قرار گرفتند. بخشی از نمونه‌های برگی تازه مورد استفاده برای اندازه‌گیری محتوای کلروفیل و پرولین در نیتروژن مایع نگهداری شدند.

به منظور بررسی وضعیت همزیستی قارچ *P. indica* با ریشه و تعیین درصد کلونیزاسیون، بالافاصله پس از جadasازی ریشه‌ها از خاک و شستشوی آن‌ها، نمونه‌هایی به طول یک سانتی‌متر تهیه و رنگ‌آمیزی شد (Phillips & Hayman, 1970). قطعات رنگ‌آمیزی شده از لحاظ وجود ساختارهای قارچی نظیر هیف و کلامیدوسپورهای گلابی‌شکل در زیر میکروسکوپ نوری مورد بررسی قرار گرفتند و سپس درصد کلونیزاسیون ریشه (CP) از نسبت تعداد قطعات حاوی ساختارهای قارچ (NRFS) به تعداد کل ریشه مشاهده شده (NTOR) بر اساس رابطه (۱) محاسبه شد (Rai et al., 2001):

$$CP = \frac{NRFS}{NTOR} \quad (1)$$

(همدان) در سال ۱۴۰۲ اجرا شد. عوامل آزمایشی شامل افزودن سه غلظت صفر، ۱/۰ و یک درصد میکروپلاستیک پلی‌وینیل کلراید (LG Chem PVC PB-1202) با قطر ذرات ۷۵ میکرومتر به خاک، قارچ *P. indica* در دو سطح (تلچیح و عدم تلچیح) و تنش کمبود آب در سه سطح (آبیاری در ۱۰۰، ۷۵ و ۵۰ درصد ظرفیت زراعی به ترتیب معادل بدون تنش، تنش متوسط و تنش شدید) بودند. خاک مورد استفاده از عمق صفر تا ۳۰ سانتی‌متری مزرعه تحقیقاتی دانشکده کشاورزی دانشگاه بوعالی تهیه و پس از عبور از الک دو میلی‌متری به نسبت دو به یک با ماسه مخلوط شد. بافت خاک لوم شنی رسی با اسیدیته ۷/۵ و هدایت الکتریکی ۱/۰۸ دسی‌زیمنس بر متر بود. مقدار فسفر، پتاسیم، مس و روی قابل استفاده خاک به ترتیب ۷، ۲/۹، ۲۷۴ و ۲/۶ میلی‌گرم در کیلوگرم بود. به منظور حذف اثرات ناخواسته ریزجانداران موجود، خاک مورد استفاده توسط اتوکلاو طی دو مرحله و هر مرحله به مدت ۳۰ دقیقه در دمای ۱۲۱ درجه سلسیوس استریل شد. برای آلوده کردن خاک به ذرات میکروپلاستیک پلی‌وینیل کلراید ابتدا میزان میکروپلاستیک مورد نیاز برای هر گلدان (با ظرفیت سه کیلوگرم خاک) توزین و پس از مخلوط کردن آن در حجمی از آب که خاک را به نقطه ظرفیت زراعی می‌رساند، به خاک اضافه شد.

جدایه اولیه قارچ *P. indica* از گروه گیاهپرشنگی دانشگاه بوعالی سینا تهیه و پس از کشت در محیط PDA به مدت ۱۰ روز در دمای ۲۵ درجه سلسیوس نگهداری و سوسپانسیون اسپور با غلظت  $5 \times 10^5$  اسپور در میلی‌لیتر Dabral et al., 2019. سپس بذرهای جوانه‌زده ذرت رقم طه (که از بخش تحقیقات ذرت و گیاهان علوفه‌ای موسسه تحقیقات اصلاح و تهیه نهال و بذر کرج تهیه شد)، در سوسپانسیون اسپور غوطه‌ور و به مدت چهار ساعت روی شیکر با سرعت ۵۰ دور در دقیقه قرار داده شد (Mohd et al., 2017) و سپس کشت انجام گرفت. قابل ذکر است که قبل از کشت بذرهای تلچیح شده در گلدان، حدود ۱۰۰ میکرولیتر از سوسپانسیون قارچ نیز به محل کشت هر بذر اضافه شد. در هر گلدان ۱۲ بذر کشت شد که در نهایت پس از اطمینان از استقرار کامل گیاهچه‌ها در مرحله دو تا سه برگی، تعداد بوته‌ها به هفت بوته در هر گلدان کاهش یافت. گلدان‌ها در گلخانه با دمای  $22/32 \pm 2$  درجه سلسیوس (روز/ شب) و طول دوره روشنایی ۱۲ ساعت قرار گرفتند و کمبود نور مورد نیاز گیاهان با ترکیبی از لامپ‌های بخارسده‌یم و

SAS و مقایسه میانگین‌ها با استفاده از آزمون LSD ۹-۴ در سطح احتمال پنج درصد انجام شد. نمودارهای مربوطه نیز با استفاده از نرم‌افزار اکسل رسم شدند.

### نتایج و بحث

#### درصد کلونیزاسیون ریشه

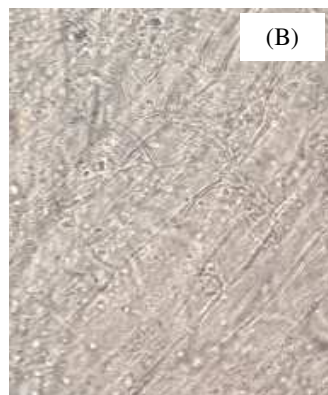
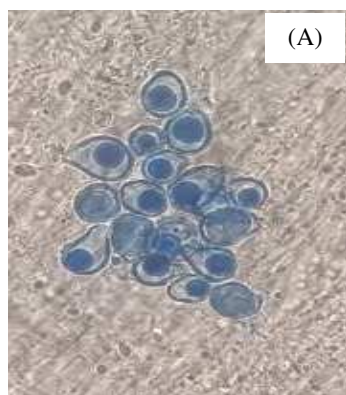
کلامیدوسپورهای قارچ *P. indica* در بافت ریشه گیاه ذرت پس از رنگ‌آمیزی در شکل ۱ ارائه شده است. نتایج تجزیه واریانس داده‌های بهدست آمده نشان داد که تأثیر میکروپلاستیک و رطوبت خاک بر درصد کلونیزاسیون ریشه در سطح احتمال یک درصد معنی‌دار بود (جدول ۱). نتایج مقایسه میانگین‌ها نشان داد که با افزودن یک درصد میکروپلاستیک به خاک، میزان کلونیزاسیون ۱۶/۹ درصد کاهش یافت (شکل ۲-A). علاوه بر این، کاهش رطوبت خاک به ۷۵ و ۵۰ درصد ظرفیت زراعی نیز میزان کلونیزاسیون را بهتر ترتیب ۳۰/۹ و ۴۷/۱ درصد در مقایسه با شاهد کاهش داد (شکل ۲-B). کاهش درصد کلونیزاسیون قارچ *P. indica* در اثر تنفس خشکی در مطالعات تیاگی و همکاران (Tyagi *et al.*, 2023) نیز گزارش شد. در خصوص تأثیر منفی میکروپلاستیک بر درصد کلونیزاسیون قارچ‌های همزیست نیز نتایج مشابهی توسط دسوزا ماقادو و همکاران (de Souza Machado *et al.*, 2019) و همکاران (2019) شده است. به نظر می‌رسد که تأثیر منفی تنفس خشکی و ذرات میکروپلاستیک بر فتوسنتز و رشد گیاه و کاهش تامین کربوهیدرات مورد نیاز قارچ از جمله دلایل موثر بر کاهش درصد کلونیزاسیون در این شرایط باشد (Tyagi *et al.*, 2017).

برای تعیین محتوای رطوبت نسبی برگ (RWC)، ابتدا وزن تازه (FW) نمونه‌ها اندازه‌گیری و سپس قطعات برگ در پتری دیش‌های حاوی آب مقطر غوطه‌ور و بهمدت ۲۴ ساعت در دمای چهار درجه سلسیوس نگهداری شدند. در مرحله بعد آب اضافی موجود در سطح نمونه‌ها حذف و وزن اشبع (TW) اندازه‌گیری شد. در نهایت، نمونه‌ها بهمدت ۷۲ ساعت در آون با دمای ۷۰ درجه سلسیوس قرار گرفتند و پس از توzین و ثبت وزن خشک (DW)، محتوای رطوبت نسبی برگ بر اساس رابطه (۲) بهدست آمد (Barrs & Weatherley, 1962):

$$RWC = \frac{FW - DW}{TW - DW} \times 100 \quad (2)$$

سنگش میزان پرولین نمونه‌ها با استفاده از روش بیتز و همکاران (Bates *et al.*, 1973) بدین ترتیب که ابتدا ۰/۵ گرم برگ با اسید سولفوسالیسیلیک عصاره‌گیری شد. پس از افزودن معرف ناین هیدرین و اسید استیک، نمونه‌ها در حمام آب گرم با دمای ۱۰۰ درجه سلسیوس قرار گرفتند و در نهایت تولوئن اضافه شد. در پایان میزان جذب نوری فاز بالایی نمونه‌ها با استفاده از دستگاه اسپکتروفوتومتر در طول موج ۵۲۰ نانومتر اندازه‌گیری شد. محلول‌های استاندارد نیز با ال-پرولین تهیی و تولوئن به عنوان شاهد استفاده شد. برای تعیین میزان کلروفیل برگ، پس از همگن کردن ۰/۵ گرم برگ تازه در استون، مخلوط حاصل در سانتریفیوژ قرار گرفت و سپس میزان جذب با استفاده از دستگاه اسپکتروفوتومتر در طول موج‌های ۶۶۳ و ۶۴۵ نانومتر برای کلروفیل a و b تعیین شد (Arnon, 1949).

تجزیه آماری داده‌های بهدست آمده، پس از اطمینان از نرمال بودن باقی‌مانده داده‌ها، با استفاده از نرم‌افزار



شکل ۱- کلامیدوسپورهای قارچ *P. indica* در بافت ریشه ذرت رقم طه با بزرگنمایی  $40\times$  (A) ریشه تلقیح شده، (B) ریشه تلقیح نشده.

Figure 1. Chlamydospores of *P. indica* fungus in the root tissue of maize cv. Tah with  $40\times$  magnification.

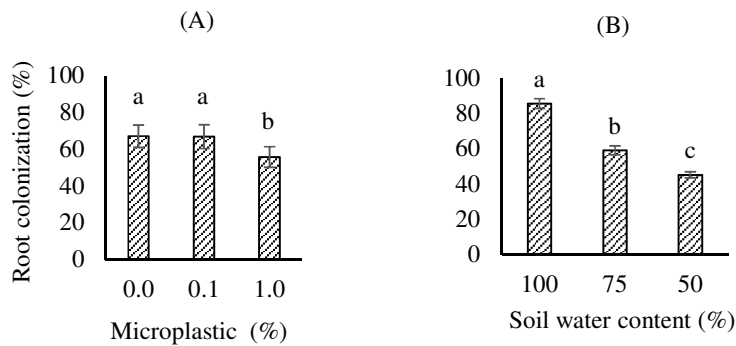
A) Inoculated root, B) Uninoculated root.

جدول ۱- تجزیه واریانس اثر میکروپلاستیک و درصد رطوبت خاک بر درصد کلونیزاسیون ریشه

Table 1. Analysis of variance of the effect of microplastic and soil water content on root colonization percentage

Source of variation	df	Mean square
Microplastic (M)	2	376.48**
Drought stress (Soil water content)	2	3779.32**
M × D	4	8.25 ns
Error	18	24.16
CV (%)	-	7.77

ns and \*\* Not- significant and significant at 1% probability level, respectively.



شکل ۲- تأثیر غلظت میکروپلاستیک (A) و رطوبت خاک (B) بر درصد کلونیزاسیون ریشه ذرت رقم طه

Figure 2. Effect of microplastic (A) and soil water content (B) on root colonization percentage of maize cv. Tah

رطوبت نسبی برگ با حضور قارچ بھبود یافت، بهطوری که محتوای رطوبت نسبی برگ در شرایط بدون تنفس، تنفس متوسط و تنفس شدید در گیاهان تلقیح شده با قارچ به ترتیب  $13/4$ ,  $19/3$ ,  $8/1$  درصد بیشتر از گیاهان تلقیح نشده بود.

محتوای رطوبت نسبی برگ یکی از شاخص‌های مهمی است که برای توصیف وضعیت آب گیاه مورد استفاده قرار می‌گیرد (Tyagi *et al.*, 2017). لیان و همکاران (Lian *et al.*, 2021) نیز تأثیر منفی میکروپلاستیک بر محتوای رطوبت نسبی برگ ذرت را مشاهده کردند. انسداد فیزیکی منافذ ریشه ناشی از حضور میکروپلاستیک به همراه آسیب ساختاری ریشه که در نهایت سبب کاهش جذب آب می‌شود (Jia *et al.*, 2023)، از جمله دلایل احتمالی موثر بر این موضوع است. افزایش محتوای رطوبت نسبی برگ بر اثر همزیستی با قارچ *P. indica* طی تنفس خشکی قبلًا Swetha & Padmavathi, (2020) در گیاه بادمجان نیز گزارش شده است. بهنظر می‌رسد که هیفهای قارچ از طریق انتقال بیشتر آب به ریشه گیاهان همزیست به حفظ تعادل آبی گیاه کمک می‌کنند (Jangir *et al.*, 2021).

### محتوای رطوبت نسبی (RWC)

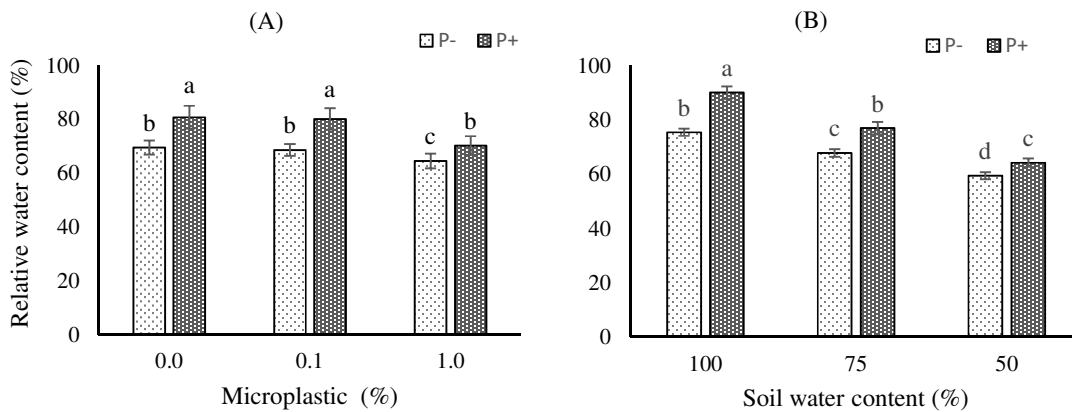
نتایج تجزیه واریانس نشان داد که اختلاف بین محتوای رطوبت نسبی گیاهچه‌های ذرت در سطوح مختلف قارچ، میکروپلاستیک و رطوبت خاک در سطح احتمال یک درصد معنی‌دار بود (جدول ۲). برهمکنش قارچ و رطوبت خاک نیز در سطح احتمال یک درصد و برهمکنش قارچ و میکروپلاستیک در سطح احتمال پنج درصد معنی‌دار بود. برهمکنش قارچ و میکروپلاستیک (شکل ۳-A) نشان داد که بالاترین محتوای رطوبت نسبی (۸۰/۸ درصد) در گیاهان تلقیح شده با قارچ بدون حضور میکروپلاستیک مشاهده شد و تفاوت آن با محتوای رطوبت نسبی گیاهان در گیاهان تلقیح شده و در معرض ۰/۱ درصد میکروپلاستیک معنی‌دار نبود. گیاهان فاقد قارچ در معرض یک درصد میکروپلاستیک نیز کمترین محتوای رطوبت نسبی (۶۴/۵ درصد) را داشتند. همزیستی با قارچ *P. indica* در غلظت‌های صفر، ۰/۱ و یک درصد میکروپلاستیک، محتوای رطوبت نسبی برگ را به ترتیب ۱۶/۷، ۱۶/۲ و ۹ درصد افزایش داد (شکل ۳-B). بررسی برهمکنش قارچ و درصد رطوبت خاک (شکل ۳-B) نیز نشان داد که در کلیه سطوح رطوبت خاک، محتوای

جدول ۲- تجزیه واریانس اثر قارچ، میکروپلاستیک و رطوبت خاک بر محتوای رطوبت نسبی، محتوای کلروفیل، سرعت فتوسنتز خالص،

هدایت روزنایی، سرعت تعرق و ماده خشک اندام هوایی ذرت

Table 2. Analysis of variance of the effect of microplastic and soil water content on relative water Content (RWC), chlorophyll content (Chl.), net photosynthesis rate ( $P_n$ ), stomatal conductance ( $G_s$ ), transpiration rate ( $T_r$ ) and shoot dry weight (SDW) of maize

Source of variation	df	Mean square						
		RWC	Proline	Chl.	$P_n$	$G_s$	$T_r$	SDW
<i>P. indica</i> (P)	1	12223.6**	18.2**	2.0**	84.3**	0.0061**	5.84**	5.28**
Microplastic (M)	2	327.9**	11.3**	1.6**	13.5**	0.0011**	0.85**	1.18**
Drought stress (D)	2	1969.6**	31.6**	5.1**	105.4**	0.0075**	6.49**	9.05**
P×M	2	47.3*	0.38*	0.08**	2.1**	0.0001*	0.18*	0.12**
P×D	2	108.0**	0.38*	0.4**	5.3**	0.0003**	0.42**	0.64**
M×D	4	5.5	0.22 ns	0.03	0.15 ns	0.000003 ns	0.005 ns	0.04 ns
P×M×D	4	5.7 ns	0.11 ns	0.01 ns	0.03 ns	0.00001 ns	0.01 ns	0.01 ns
Error	36	14.5	0.11	0.01	0.6	0.00004	0.04	0.01
Cv (%)		5.2	7.4	9.3	7.1	5.5	5.6	9.4

<sup>ns</sup>, \* and \*\* Not- significant and significant at 5% and 1% probability levels, respectively.شکل ۳- مقایسه میانگین برهمنش قارچ و میکروپلاستیک (A) و قارچ و رطوبت خاک (B) بر محتوای رطوبت نسبی برگ  
Figure 3. Comparison of means of *P. indica* and microplastic (A) and *P. indica* and soil water content (B)  
interaction on leaf relative water content

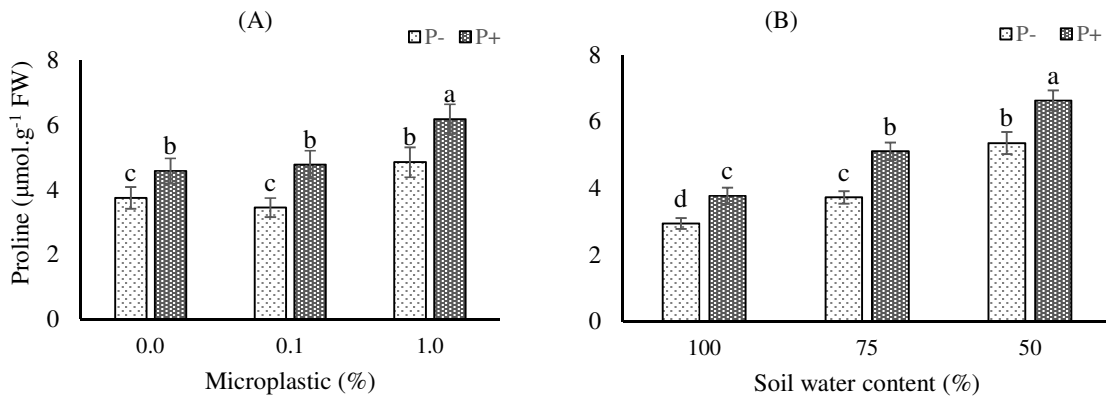
و ۵۰ درصد ظرفیت مزرعه، محتوای پرولین گیاهان را به ترتیب ۳۱/۵ و ۷۸/۵ درصد افزایش داد. علاوه بر این حضور قارچ *P. indica* در کلیه سطوح رطوبت خاک با افزایش محتوای پرولین گیاهان همراه بود. مشابه نتایج مطالعه حاضر، محتوای پرولین گیاهچه‌های شاهی افزایش نشان داد (Pignattelli et al., 2020). از جمله افزایش ترین راه کارهای گیاهان برای تحمل تنفس، تولید انواع مختلفی از ترکیبات محافظت کننده‌های اسمزی است که اسید آمینه پرولین یکی از مهم‌ترین آن‌ها است. پرولین قادر است از طریق کمک به تنظیم اسمزی، خنثی‌سازی گونه‌های فعل اکسیژن و کمک به حفظ ساختار طبیعی غشاها و ترکیبات پروتئینی، سبب کاهش اثرات مخرب

### محتوای پرولین

تجزیه واریانس داده‌ها نشان داد که علاوه بر اثرات اصلی قارچ، میکروپلاستیک و رطوبت خاک، برهمنش قارچ و میکروپلاستیک و همچنین قارچ و رطوبت خاک نیز بر محتوای پرولین گیاهان معنی‌دار بود (جدول ۲). محتوای پرولین گیاهچه‌های در معرض ۰/۱ درصد میکروپلاستیک تفاوت معنی‌داری با شاهد نداشت، اما با افزایش غلظت میکروپلاستیک خاک به یک درصد، محتوای پرولین گیاهان به طور متوسط ۳۲/۴ درصد افزایش نشان داد. در کلیه سطوح میکروپلاستیک، محتوای پرولین گیاهان تلقیح شده بیشتر از گیاهان فاقد قارچ بود (شکل ۴-A). بررسی برهمنش قارچ و رطوبت خاک (شکل ۴-B) نیز نشان داد که کاهش رطوبت خاک به ۷۵

مخالف نشان می‌دهد که افزایش تجمع پرولین در گیاهان همزیست با قارچ مایکوریزا مرتبط با افزایش تنظیم بیان (MeP5CS) دلتا-پیرولین-۵-کربوکسیلات سنتتاز (Huang *et al.*, 2010).

تنش‌های محیطی شود (Zia *et al.*, 2021). افزایش محتوای پرولین گیاهچه‌های هندوانه (*Citrullus lanatus*) بر اثر کلونیزاسیون قارچ *P. indica* نیز مشاهده شده است (Jyothymol *et al.*, 2024).



شکل ۴- مقایسه میانگین برهم‌کنش قارچ و میکروپلاستیک (A) و قارچ و رطوبت خاک (B) بر محتوای پرولین

Figure 4. Comparison of means of *P. indica* and microplastic (A) and *P. indica* and soil water content (B) interaction on proline

مهم‌ترین دلایل این موضوع می‌باشد (Hartmann *et al.*, 2022). کاهش محتوای کلروفیل در گیاهان در معرض تنش کمبود آب عمدهاً به دلیل انباشت گونه‌های فعال اکسیژن و آسیب به غشاها سلولی رخ می‌دهد (Xu *et al.*, 2022). مطالعات مختلف نشان داده است که قارچ *P. indica* می‌تواند از طریق افزایش جذب آب و عناصر غذایی (Aslani *et al.*, 2023) و تقویت سیستم دفاع آنتی‌اکسیدانی (Aslam *et al.*, 2019) سبب بهبود محتوای کلروفیل گیاهان شود.

#### پارامترهای فتوسنترزی سرعت فتوسنترز خالص

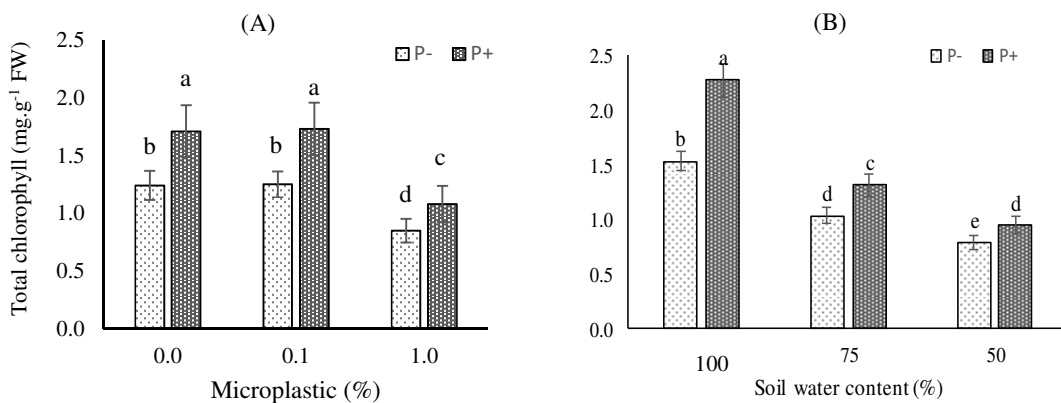
بر اساس نتایج تجزیه واریانس (جدول ۲)، اثرات اصلی قارچ، میکروپلاستیک و رطوبت خاک و برهم‌کنش قارچ و میکروپلاستیک و قارچ و رطوبت خاک بر سرعت فتوسنترز خالص در سطح احتمال یک درصد معنی‌دار بود. نتایج نشان داد که حضور ۱۰٪ درصد میکروپلاستیک در خاک تأثیر معنی‌داری بر سرعت فتوسنترز خالص نداشت (جدول ۳)، اما این پارامتر در حضور یک درصد میکروپلاستیک *P. indica* به طور معنی‌داری کاهش یافت. حضور قارچ سبب بهبود سرعت فتوسنترز خالص گیاهان شد، به طوری که سرعت فتوسنترز خالص گیاهان تلقیح شده در غلظت‌های صفر و یک درصد میکروپلاستیک به ترتیب ۲۷/۱ و ۱۷/۹ درصد بیشتر از گیاهان تلقیح نشده بود (شکل ۵).

#### محتوای کلروفیل کل

نتایج حاصل از تجزیه واریانس داده‌ها نشان داد که اثر قارچ، میکروپلاستیک و رطوبت خاک بر محتوای کلروفیل کل گیاهان در سطح احتمال یک درصد معنی‌دار بود. برهم‌کنش قارچ و میکروپلاستیک و قارچ و رطوبت خاک نیز در سطح احتمال یک درصد معنی‌دار شد (جدول ۲). نتایج مقایسه میانگین‌ها نشان داد که محتوای کلروفیل گیاهان بر اثر افزودن یک درصد میکروپلاستیک به خاک به طور متوسط ۳۴/۶ درصد کاهش یافت، اما حضور قارچ منجر به افزایش معنی‌دار محتوای کلروفیل *P. indica* کل شد، به‌گونه‌ای که تلقیح گیاهان با قارچ در غلظت‌های صفر، ۱۰٪ و یک درصد میکروپلاستیک، محتوای کلروفیل کل را به ترتیب ۳۷/۹، ۳۸/۴ و ۲۷ درصد افزایش داد (شکل ۵). بررسی برهم‌کنش قارچ و رطوبت خاک نیز نشان داد که حضور قارچ سبب کاهش تأثیر منفی کاهش رطوبت خاک بر محتوای کلروفیل گیاهان شد، به طوری که محتوای کلروفیل گیاهان تلقیح شده با قارچ در شرایط تنش کمبود آب متوسط و شدید به ترتیب ۲۷/۱ و ۲۰/۵ درصد بیشتر از گیاهان تلقیح نشده بود (شکل ۵). تأثیر منفی میکروپلاستیک پلی‌وینیل کلراید بر محتوای کلروفیل گیاهچه‌های ذرت قبل از نیز گزارش شده است (Pehlivan & Gedik, 2021). وقوع تنش اکسیداتیو و اختلال در مسیرهای متابولیک بیوسنتر کلروفیل از جمله

گیاهان با قارچ *P. indica* تا حد زیادی سبب تخفیف اثر منفی تنفس خشکی بر سرعت فتوسنتز خالص شد، به‌گونه‌ای که سرعت فتوسنتز خالص گیاهان تلقیح شده در بالاترین سطح تنفس خشکی ۹/۹۴ میکرومول  $\text{CO}_2$  در مترمربع در ثانیه بود که در مقایسه با گیاهان فاقد قارچ ۱۸ درصد افزایش نشان داد.

برهم‌کنش قارچ و رطوبت خاک نیز نشان داد که بیشترین سرعت فتوسنتز خالص (معادل ۱۵/۸۱ میکرومول  $\text{CO}_2$  در مترمربع در ثانیه) در گیاهان تلقیح شده فاقد تنفس به‌دست آمد (جدول ۴). کاهش رطوبت خاک به ۷۵ و ۵۰ درصد ظرفیت مزرعه، سرعت فتوسنتز خالص گیاهان را به‌طور متوسط به ترتیب ۲۰/۸ و ۳۳/۸ درصد کاهش داد. تلقیح



شکل ۵- مقایسه میانگین برهم‌کنش قارچ و میکروپلاستیک (A) و قارچ و رطوبت خاک (B) بر محتوای کلروفیل کل  
Figure 5. Comparison of means of *P. indica* and microplastic (A) and *P. indica* and soil water content (B) interaction on total chlorophyll content

جدول ۳- مقایسه میانگین برهم‌کنش قارچ و میکروپلاستیک بر سرعت فتوسنتز خالص، هدایت روزنامه‌ای و سرعت تعرق  
Table 3. Comparison of means of *P. indica* and microplastic interaction on net photosynthesis ( $P_n$ ), stomatal conductance ( $G_s$ ) and transpiration rate ( $T_r$ ).

<i>P. indica</i>	Microplastic (%)	$P_n$ ( $\mu\text{mol CO}_2 \text{m}^{-2} \text{s}^{-1}$ )	$G_s$ ( $\text{mmol CO}_2 \text{m}^{-2} \text{s}^{-1}$ )	$T_r$ ( $\text{mmol H}_2\text{O m}^{-2} \text{s}^{-1}$ )
Absence of fungus	0	10.49 <sup>bc</sup>	0.108 <sup>c</sup>	3.47 <sup>bc</sup>
	0.1	10.41 <sup>c</sup>	0.111 <sup>bc</sup>	3.41 <sup>cd</sup>
	1	9.54 <sup>d</sup>	0.101 <sup>d</sup>	3.23 <sup>d</sup>
Presence of fungus	0	13.34 <sup>a</sup>	0.134 <sup>a</sup>	4.19 <sup>a</sup>
	0.1	13.36 <sup>a</sup>	0.135 <sup>a</sup>	4.23 <sup>a</sup>
	1	11.25 <sup>b</sup>	0.116 <sup>b</sup>	3.66 <sup>b</sup>
LSD <sub>5%</sub>		0.78	0.006	0.20

Means followed by at least one similar letter are not significantly different by LSD test at 5% probability level.

جدول ۴- مقایسه میانگین برهم‌کنش قارچ *P. indica* و درصد رطوبت خاک بر سرعت فتوسنتز خالص، هدایت روزنامه‌ای و سرعت تعرق

Table 4. Comparison of means of *P. indica* and soil water content interaction on net photosynthesis ( $P_n$ ), stomatal conductance ( $G_s$ ) and transpiration rate ( $T_r$ ).

<i>P. indica</i>	Soil water content (%)	$P_n$ ( $\mu\text{mol CO}_2 \text{m}^{-2} \text{s}^{-1}$ )	$G_s$ ( $\text{mmol CO}_2 \text{m}^{-2} \text{s}^{-1}$ )	$T_r$ ( $\text{mmol H}_2\text{O m}^{-2} \text{s}^{-1}$ )
Absence of fungus	100	12.15 <sup>b</sup>	0.12 <sup>b</sup>	3.84 <sup>b</sup>
	75	9.86 <sup>c</sup>	0.10 <sup>c</sup>	3.31 <sup>c</sup>
	50	8.43 <sup>d</sup>	0.09 <sup>d</sup>	2.95 <sup>d</sup>
Presence of fungus	100	15.81 <sup>a</sup>	0.15 <sup>a</sup>	4.84 <sup>a</sup>
	75	12.19 <sup>b</sup>	0.12 <sup>b</sup>	3.90 <sup>b</sup>
	50	9.94 <sup>c</sup>	0.10 <sup>c</sup>	3.52 <sup>c</sup>
LSD <sub>5%</sub>		0.78	0.006	0.20

Means followed by at least one similar letter are not significantly different by LSD test at 5% probability level.

تنش شدید خشکی توانست هدایت روزنہای گیاهان را به ترتیب ۲۴/۱، ۱۹ و ۱۴/۱ درصد در مقایسه با گیاهان شاهد افزایش دهد. کاهش هدایت روزنہای گیاهان در معرض میکروبلاستیک در کاهو (Gao *et al.*, 2019) و برنج (Ma *et al.*, 2022) نیز مشاهده شده است. این موضوع نشان‌دهنده پاسخ برگ به محدودیت آب است که از تأثیر منفی ذرات میکروبلاستیک بر جذب آب توسط ریشه‌ها ناشی می‌شود (Fu *et al.*, 2022). در ارتباط با تأثیر مثبت قارچ *P. indica* بر هدایت روزنہای، نتایج Hussin *et al.*, (2017) در گیاهچه‌های کینوا در معرض تنش خشکی مشابهی توسط هوسین و همکاران (2017) در گیاهچه‌های کینوا در معرض تنش خشکی گزارش شده است. به نظر می‌رسد افزایش پتانسیل آب در برگ گیاهان تلقیح شده با قارچ *P. indica* (Khalid *et al.*, 2022)، می‌تواند در افزایش هدایت روزنہای و بهبود تبادلات گازی گیاه موثر باشد.

#### سرعت تعرق

نتایج نشان داد که اثر قارچ، میکروبلاستیک و رطوبت خاک به همراه برهمنکنش قارچ و رطوبت خاک در سطح احتمال یک درصد و برهمنکنش قارچ و میکروبلاستیک در سطح احتمال پنج درصد بر سرعت تعرق معنی‌دار بود (جدول ۲). بررسی برهمنکنش قارچ و میکروبلاستیک در (جدول ۳) نشان داد که سرعت تعرق گیاهان در معرض یک درصد میکروبلاستیک به طور متوسط ۱۳/۲ درصد کمتر از گیاهان شاهد بود. در این شرایط حضور قارچ سبب بهبود سرعت تعرق شد و سرعت تعرق گیاهان تلقیح شده نسبت به گیاهان فاقد قارچ ۱۳/۳ درصد افزایش نشان داد. حضور قارچ *P. indica* در گیاهان بدون تنش و گیاهان در معرض ۰/۱ درصد میکروبلاستیک نیز سرعت تعرق گیاهان را به طور معنی‌داری افزایش داد. همچنین، کاهش رطوبت خاک به ۷۵ و ۵۰ درصد ظرفیت مزروعه با کاهش سرعت تعرق گیاهان همراه بود، اما تلقیح گیاهان با قارچ *P. indica* در شرایط بدون تنش و تنش رطوبتی ۷۵ و ۵۰ درصد ظرفیت مزروعه، سرعت تعرق گیاهان را به ترتیب ۱۷/۸، ۲۶ و ۱۳/۵ درصد بهبود بخشید (جدول ۴). کاهش سرعت تعرق طی تنش میکروبلاستیک در کاهو (Gao *et al.*, 2019) و برنج (Ma *et al.*, 2022) نیز گزارش شده است. به نظر می‌رسد مسدود شدن منافذ دیواره سلول‌های ریشه و آکوپورین‌ها توسط ذرات میکروبلاستیک و در نتیجه کاهش قابلیت جذب آب (Hartmann *et al.*, 2022) از جمله دلایل این موضوع باشد. در ارتباط با تأثیر

کاهش سرعت فتوسنتر خالص گیاهچه‌های برنج بر اثر سمیت میکروبلاستیک پلی وینیل کلراید نیز مشاهده شده است (Ma *et al.*, 2022). کاهش محتوای کلروفیل و محدودیت روزنہای ناشی از کاهش دسترسی به آب در گیاهان در معرض میکروبلاستیک از جمله عوامل موثر بر Hartmann *et al.*, (2022). از جمله دلایل کاهش فتوسنتر گیاهان در معرض کمبود آب، تأثیر منفی تنش خشکی بر هدایت روزنہای گیاهان و کاهش محتوای رنگدانه‌های فتوسنتری به همراه Zia *et al.*, (2021). نتایج مطالعه هوسین و همکاران (Hussin *et al.*, 2021) نیز نشان داد که همزیستی با قارچ *P. indica* (2017) سبب بهبود سرعت آسمیلاسیون دی‌اکسید کربن در گیاهچه‌های کینوا (*Chenopodium quinoa*) در معرض تنش کمبود آب شد. قارچ قادر است از طریق افزایش توسعه ریشه‌ها سبب بهبود تعادل آبی گیاهان در شرایط تنش شود و علاوه بر این با تقویت سیستم آنتی‌اکسیدانی و کاهش عوارض ناشی از تنش اکسیداتیو به حفظ ساختار دستگاه فتوسنتری گیاه کمک کند (Jangir *et al.*, 2021).

#### هدایت روزنہای

نتایج تجزیه واریانس داده‌ها نشان داد که اثر قارچ، میکروبلاستیک و رطوبت خاک به همراه برهمنکنش قارچ و رطوبت خاک بر هدایت روزنہای گیاهان در سطح احتمال یک درصد و برهمنکنش قارچ و میکروبلاستیک در سطح احتمال پنج درصد معنی‌دار بود (جدول ۲). بررسی برهمنکنش قارچ و میکروبلاستیک (جدول ۳) نشان داد که تأثیر منفی میکروبلاستیک بر هدایت روزنہای گیاهان به دنبال کلونیزاسیون قارچ و در بالاترین مقدار هدایت روزنہای در شرایط حضور قارچ و در گیاهان بدون تنش (معادل ۰/۱۲ میلی مول CO<sub>2</sub> بر متر مربع در ثانیه) مشاهده شد که تفاوت معنی‌داری با گیاهان تلقیح شده در معرض ۰/۱ درصد میکروبلاستیک نداشت. در غلظت یک درصد میکروبلاستیک نیز هدایت روزنہای گیاهان تلقیح شده ۱۴/۸ درصد بیشتر از گیاهان فاقد قارچ بود (جدول ۳). نتایج نشان داد که کاهش رطوبت خاک به ۷۵ و ۵۰ درصد ظرفیت مزروعه به طور متوسط و به ترتیب سبب کاهش ۱۷/۲ و ۲۹/۴ درصدی هدایت روزنہای گیاهان شد (جدول ۴). از سوی دیگر، همزیستی با قارچ *P. indica* در شرایط بدون تنش، تنش متوسط و

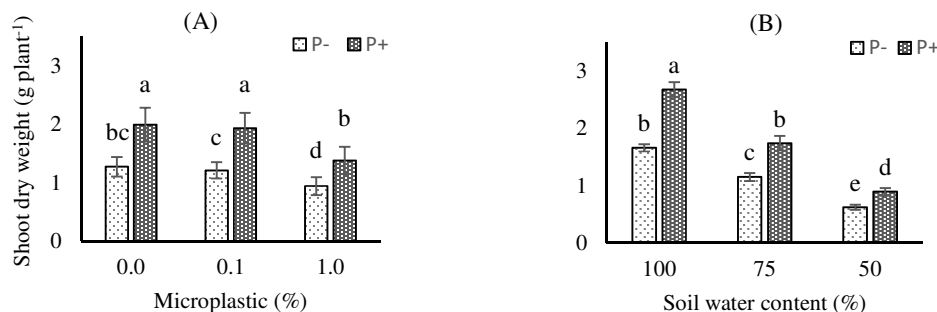
(جدول ۲). افزودن ۱۰ درصد میکروپلاستیک به خاک تعییر معنی‌داری در وزن خشک اندام هوایی ایجاد نکرد، اما در سطح یک درصد میکروپلاستیک، وزن خشک اندام هوایی گیاهان تلقیح شده و تلقیح نشده به ترتیب ۳۰/۶ و ۲۵/۹ درصد نسبت به شاهد کاهش یافت (شکل‌های A-۶ و ۷). وزن خشک گیاهان در کلیه سطوح میکروپلاستیک به طور معنی‌داری با حضور قارچ بهبود یافت (شکل A-۶).

بررسی برهمنکش قارچ و تنش رطوبتی نیز نشان داد که بیشترین و کمترین ماده خشک اندام هوایی به ترتیب در گیاهان تلقیح شده بدون تنش و تلقیح نشده تحت تنش رطوبتی ۵۰ درصد به دست آمد (شکل ۶-B).

مثبت قارچ *P. indica* بر سرعت تعرق گیاهان تحت شرایط تنش خشکی، نتایج مشابهی توسط جیوتیمول و همکاران (Jyothymol et al., 2024) در گیاهچهای هندوانه گزارش شده است. افزایش سرعت تعرق گیاهان ذرت تلقیح شده با قارچ طی تنش خشکی می‌تواند به دلیل تأثیر مثبت قارچ بر هدایت روزنایی باشد (جدول ۴).

#### ماده خشک اندام هوایی

نتایج تجزیه واریانس نشان داد که اثرات اصلی قارچ، میکروپلاستیک و رطوبت خاک و برهمنکش قارچ و میکروپلاستیک و قارچ و تنش رطوبتی بر ماده خشک اندام هوایی در سطح احتمال یک درصد معنی‌دار بود



شکل ۶- مقایسه میانگین برهمنکش قارچ و میکروپلاستیک (A) و قارچ و رطوبت خاک (B) بر ماده خشک اندام هوایی  
Figure 6. Comparison of means of *P. indica* and microplastic (A) and *P. indica* and soil water content (B) interaction on shoot dry weight



شکل ۷- رشد بوته‌ها در شرایط بدون کمبود آب و میکروپلاستیک "شاهد" (a)، تنش کمبود آب شدید و بدون میکروپلاستیک (b)، تنش کمبود آب شدید با ۰/۱ درصد میکروپلاستیک (c)، تنش کمبود آب شدید با ۱ درصد میکروپلاستیک (d) در حضور قارچ *P. indica*  
Figure 7. Plant growth under conditions without water deficit and microplastic "control" (a), severe water deficit stress without microplastic (b), severe water deficit stress with 0.1% microplastic (c), severe water deficit stress with 1% microplastic (d) in the presence of *P. indica*

۲۰۲۲) نیز کاهش یافت. شواهد نشان می‌دهد که انباست ذرات میکروپلاستیک در ناحیه کورتکس ریشه و مسدود شدن فضاهای بین میکروفیبریل‌های سلولزی در دیواره سلولی منجر به کاهش جذب آب و عناصر غذایی و در Bosker et al., 2022) نتیجه کاهش تولید ماده خشک می‌شود.

همزیستی با قارچ *P. indica* ماده خشک اندام هوایی را در شرایط بدون تنش و تنش رطوبتی متوسط و شدید به ترتیب ۶۱/۴، ۵۱/۳ و ۴۳/۵ درصد افزایش داد. وزن خشک اندام هوایی گیاهچهای برنج در معرض ذرات میکروپلاستیک در مطالعه ما و همکاران (Ma et al., 2024) نتایج مشابهی داشتند.

است، به طوری که محتوای رطوبت نسبی برگ گیاهچه‌های تلقیح شده در معرض تنفس بیشتر از گیاهچه‌های فاقد همزیستی با قارچ بود و عملکرد فتوسنتزی و تولید ماده خشک نیز در حضور قارچ افزایش یافت. در مجموع با توجه با نتایج بدست آمده از این مطالعه، به نظر می‌رسد بهره‌گیری از پتانسیل قارچ *P. indica* می‌تواند به عنوان راهکاری در جهت تخفیف اثرات منفی ناشی از تنفس میکروپلاستیک و کمبود آب و افزایش تحمل گیاهان مورد توجه قرار گیرد.

### تضاد منافع

نویسنده‌گان تایید می‌کنند که این تحقیق در غیاب هر گونه روابط تجاری یا مالی که می‌تواند به عنوان تضاد منافع بالقوه تعییر شود، انجام شده است.

### رعايت اخلاق در نشر

نویسنده‌گان اعلام می‌کنند که در نگارش این مقاله به طور کامل از اخلاق نشر از جمله سرقت ادبی، سوء رفتار، جعل داده‌ها و انتشار دوگانه، پیروی کرده‌اند. همچنین این مقاله حاصل یک کار تحقیقاتی اصیل بوده و تا کنون به طور کامل به هیچ زبانی و در هیچ نشریه یا همایشی چاپ و منتشر نشده است و هیچ اقدامی نیز برای انتشار آن در هیچ نشریه یا همایشی صورت نگرفته و نخواهد گرفت.

### اجازه انتشار مقاله

نویسنده‌گان با چاپ این مقاله به صورت دسترسی باز موافقت کرده و کلیه حقوق استفاده از محتوا، جدول‌ها، شکل‌ها، تصویرها و غیره را به ناشر واگذار می‌کنند.

2019). تأثیر منفی میکروپلاستیک بر محتوای کلروفیل (شکل ۴) و سرعت فتوسنتز خالص گیاهان (جدول ۳) از جمله دیگر دلایل این موضوع محسوب می‌شود. نتایج مطالعه حاضر در ارتباط با بهبود رشد و افزایش ماده خشک در گیاهان کلونیزه شده با قارچ *P. indica* با نتایج مشاهده شده در گیاهچه‌های بادمجان تحت تنفس خشکی (Swetha & Padmavathi, 2020) و گیاهچه‌های مریم Aslani *et al.*, (2023) مطابقت داشت. افزایش جذب عناصر غذایی به همراه بهبود و اصلاح هر دو مسیر بیوسنتز و سیگنال رسانی فیتوهورمون‌ها و تقویت سیستم دفاعی از جمله مکانیسم‌های مطرح در ارتباط تأثیر مثبت این قارچ بر رشد گیاهان است (Aslam *et al.*, 2019).

### نتیجه‌گیری کلی

نتایج این پژوهش نشان داد که افزودن یک درصد میکروپلاستیک به خاک مشابه تنفس کمبود رطوبت خاک، محتوای رطوبت نسبی برگ، محتوای کلروفیل، شاخص‌های فتوسنتزی و ماده خشک اندام هوایی گیاهچه‌های ذرت را به طور معنی‌داری کاهش داد. در مقابل، محتوای بروولین در این شرایط افزایش یافت. اگرچه درصد کلونیزاسیون ریشه گیاهان ذرت توسط قارچ *P. indica* در غلظت یک درصد میکروپلاستیک و نیز تحت شرایط تنفس کمبود آب کاهش یافت، اما تأثیر مثبت قارچ بر صفات مورد بررسی همچنان مشهود بود. به نظر می‌رسد گسترش و نفوذ هیف‌های قارچ به نقاطی از خاک که برای ریشه گیاه قابل دسترس نیست، سبب افزایش سطح تماس ریشه با خاک شده و بهبود جذب آب و عناصر غذایی توسط گیاه را به دنبال داشته

### References

- Arnon, D. I. (1949). Copper enzymes in isolated chloroplasts. Polyphenoloxidase in *Beta vulgaris*. *Plant Physiology*, 24(1), 1-15. doi: [10.1104/pp.24.1.1](https://doi.org/10.1104/pp.24.1.1).
- Aslam, M. M., Karanja, J., & Bello, S. K. (2019). *Piriformospora indica* colonization reprograms plants to improved P-uptake, enhanced crop performance, and biotic/abiotic stress tolerance. *Physiological & Molecular Plant Pathology*, 106, 232-237. doi: [10.1016/j.pmp.2019.02.010](https://doi.org/10.1016/j.pmp.2019.02.010).
- Aslani, Z., Hassani, A., Mandoulakani, B. A., Barin, M., & Maleki, R. (2023). Effect of drought stress and inoculation treatments on nutrient uptake, essential oil and expression of genes related to monoterpenes in sage (*Salvia officinalis*). *Scientia Horticulturae*, 309, 111610. doi: [10.1016/j.scienta.2022.111610](https://doi.org/10.1016/j.scienta.2022.111610).
- Barrs, H. D., & Weatherley, P. E. (1962). A re-examination of the relative turgidity technique for estimating water deficits in leaves. *Australian Journal of Biological Sciences*, 15(3), 413-428. doi: [10.1071/BI9620413](https://doi.org/10.1071/BI9620413).
- Bates, L. S., Waldren, R. P. A., & Teare, I. D. (1973). Rapid determination of free proline for water-stress studies. *Plant & Soil*, 39, 205-207. doi: [10.1007/BF00018060](https://doi.org/10.1007/BF00018060).

- Bosker, T., Bouwman, L. J., Brun, N. R., Behrens, P., & Vijver, M. G. (2019). Microplastics accumulate on pores in seed capsule and delay germination and root growth of the terrestrial vascular plant *Lepidium sativum*. *Chemosphere*, 226, 774-781. doi: [10.1016/j.chemosphere.2019.03.163](https://doi.org/10.1016/j.chemosphere.2019.03.163).
- Cao, L., Wu, D., Liu, P., Hu, W., Xu, L., Sun, Y., Wu, Q., Tian, K., Huang, B., Yoon, S. J., Kwon, B. O., & Khim, J. S. (2021). Occurrence, distribution and affecting factors of microplastics in agricultural soils along the lower reaches of Yangtze River, China. *Science of the Total Environment*, 794, 148694. doi: [10.1016/j.scitotenv.2021.148694](https://doi.org/10.1016/j.scitotenv.2021.148694).
- Dabral, S., Varma, A., Choudhary, D. K., Bahuguna, R. N., & Nath, M. (2019). Biopriming with *Piriformospora indica* ameliorates cadmium stress in rice by lowering oxidative stress and cell death in root cells. *Ecotoxicology & Environmental Safety*, 186, 109741. doi: [10.1016/j.ecoenv.2019.109741](https://doi.org/10.1016/j.ecoenv.2019.109741).
- de Souza Machado, A. A., Lau, C. W., Kloas, W., Bergmann, J., Bachelier, J. B., Faltin, E., Becker, R., Görlich, A. S., & Rillig, M. C. (2019). Microplastics can change soil properties and affect plant performance. *Environmental Science & Technology*, 53(10), 6044-6052. doi: [10.1021/acs.est.9b01339](https://doi.org/10.1021/acs.est.9b01339).
- Dong, Y., Gao, M., Song, Z., & Qiu, W. (2020). Microplastic particles increase arsenic toxicity to rice seedlings. *Environmental Pollution*, 259, 113892. doi: [10.1016/j.envpol.2019.113892](https://doi.org/10.1016/j.envpol.2019.113892).
- Fu, Q., Lai, J. L., Ji, X. H., Luo, Z. X., Wu, G., & Luo, X. G. (2022). Alterations of the rhizosphere soil microbial community composition and metabolite profiles of *Zea mays* by polyethylene-particles of different molecular weights. *Journal of Hazardous Materials*, 423, 127062. doi: [10.1016/j.jhazmat.2021.127062](https://doi.org/10.1016/j.jhazmat.2021.127062).
- Gao, M., Liu, Y., & Song, Z. (2019). Effects of polyethylene microplastic on the phytotoxicity of di-n-butyl phthalate in lettuce (*Lactuca sativa* L. var. *ramosa* Hort). *Chemosphere*, 237, 124482. doi: [10.1016/j.chemosphere.2019.124482](https://doi.org/10.1016/j.chemosphere.2019.124482).
- Gill, S. S., Gill, R., Trivedi, D. K., Anjum, N. A., Sharma, K. K., Ansari, M. W., Ansari, A. A., Johri, A. K., Prasad, R., Pereira, E., Varma, A., & Tuteja, N. (2016). *Piriformospora indica*: Potential and significance in plant stress tolerance. *Frontiers in Microbiology*, 7, 332. doi: [10.3389/fmicb.2016.00332](https://doi.org/10.3389/fmicb.2016.00332).
- Gong, W., Zhang, W., Jiang, M., Li, S., Liang, G., Bu, Q., Xu, L., Zhy, H., & Lu, A. (2021). Species-dependent response of food crops to polystyrene nanoplastics and microplastics. *Science of the Total Environment*, 796, 148750. doi: [10.1016/j.scitotenv.2021.148750](https://doi.org/10.1016/j.scitotenv.2021.148750).
- He, D., Zhang, Y., & Gao, W. (2021). Micro (nano) plastic contaminations from soils to plants: Human food risks. *Current Opinion in Food Science*, 41, 116-121. doi: [10.1016/j.cofs.2021.04.001](https://doi.org/10.1016/j.cofs.2021.04.001).
- Harman, G. E. (2011). Multifunctional fungal plant symbionts: new tools to enhance plant growth and productivity. *New Phytologist*, 189(3), 647-649. doi: [10.1111/j.1469-8137.2010.03614.x](https://doi.org/10.1111/j.1469-8137.2010.03614.x).
- Hartmann, G. F., Ricachenevsky, F. K., Silveira, N. M., & Pita-Barbosa, A. (2022). Phytotoxic effects of plastic pollution in crops: what is the size of the problem?. *Environmental Pollution*, 292, 118420. doi: [10.1016/j.envpol.2021.118420](https://doi.org/10.1016/j.envpol.2021.118420).
- Huang, Z., Zou, Z. R., Huang, H. H., He, C. X., Zhang, Z. B., Wang, H. S., & Li, J. M. (2010). Cloning, analysis and expression of a drought-related gene *MeP5CS* from melon. *Acta Horticulturae Sinica*, 37(8), 1279-1286.
- Hussin, S., Khalifa, W., Geissler, N., & Koyro, H. W. (2017). Influence of the root endophyte *Piriformospora indica* on the plant water relations, gas exchange and growth of *Chenopodium quinoa* at limited water availability. *Journal of Agronomy & Crop Science*, 203(5), 373-384. doi: [10.1111/jac.12199](https://doi.org/10.1111/jac.12199).
- Jangir, P., Shekhawat, P. K., Bishnoi, A., Ram, H., & Soni, P. (2021). Role of *Serendipita indica* in enhancing drought tolerance in crops. *Physiological & Molecular Plant Pathology*, 116, 101691. doi: [10.1016/j.pmpp.2021.101691](https://doi.org/10.1016/j.pmpp.2021.101691).
- Jia, L., Liu, L., Zhang, Y., Fu, W., Liu, X., Wang, Q., Tanveer, M., & Huang, L. (2023). Microplastic stress in plants: Effects on plant growth and their remediations. *Frontiers in Plant Science*, 14, 1226484. doi: [10.3389/fpls.2023.1226484](https://doi.org/10.3389/fpls.2023.1226484).
- Jyothymol, C. P., Kutty, M. S., Pradeepkumar, T., Parvathi, M. S., & Rashmi, C. R. (2024). *Piriformospora indica* improves water stress tolerance in watermelon (*Citrullus lanatus* (Thunb.) Matsum & Nakai). *Plant Physiology Reports*, 29(3), 638-650. doi: [10.1007/s40502-024-00797-1](https://doi.org/10.1007/s40502-024-00797-1).
- Khalid, M., Ur-Rahman, S., Tan, H., Su, L., Zhou, P., & Hui, N. (2022). Mutualistic fungus *Piriformospora indica* modulates cadmium phytoremediation properties of host plant via concerted

- action of enzymatic and non-enzymatic biochemicals. *Pedosphere*, 32(2), 256-267. doi: [10.1016/S1002-0160\(21\)60014-0](https://doi.org/10.1016/S1002-0160(21)60014-0).
- Lian, J., Liu, W., Meng, L., Wu, J., Zeb, A., Cheng, L., Lian, Y., & Sun, H. (2021). Effects of microplastics derived from polymer-coated fertilizer on maize growth, rhizosphere, and soil properties. *Journal of Cleaner Production*, 318, 128571. doi: [10.1016/j.jclepro.2021.128571](https://doi.org/10.1016/j.jclepro.2021.128571).
- Ma, J., Aqeel, M., Khalid, N., Nazir, A., Alzuairi, F. M., Al-Mushhin, A. A., Hakami, O., Iqbal, M. F., Chen, F., Alamri, S., Hashem, M., & Noman, A. (2022). Effects of microplastics on growth and metabolism of rice (*Oryza sativa* L.). *Chemosphere*, 307, 135749. doi: [10.1016/j.chemosphere.2022.135749](https://doi.org/10.1016/j.chemosphere.2022.135749).
- Mohd, S., Shukla, J., Kushwaha, A. S., Mandrah, K., Shankar, J., Arjaria, N., Saxena, P. N., Narayan, R., Roy, S. K., & Kumar, M. (2017). Endophytic fungi *Piriformospora indica* mediated protection of host from arsenic toxicity. *Frontiers in Microbiology*, 8, 754. doi: [10.3389/fmicb.2017.00754](https://doi.org/10.3389/fmicb.2017.00754).
- Pehlivan, N., & Gedik, K. (2021). Particle size-dependent biomolecular footprints of interactive microplastics in maize. *Environmental Pollution*, 277, 116772. doi: [10.1016/j.envpol.2021.116772](https://doi.org/10.1016/j.envpol.2021.116772).
- Phillips, J. M., & Hayman, D. S. (1970). Improved procedures for clearing roots and staining parasitic and vesicular-arbuscular mycorrhizal fungi for rapid assessment of infection. *Transactions of the British Mycological Society*, 55(1), 158-161. doi: [10.1016/S0007-1536\(70\)80110-3](https://doi.org/10.1016/S0007-1536(70)80110-3).
- Pignattelli, S., Broccoli, A., & Renzi, M. (2020). Physiological responses of garden cress (*L. sativum*) to different types of microplastics. *Science of the Total Environment*, 727, 138609. doi: [10.1016/j.scitotenv.2020.138609](https://doi.org/10.1016/j.scitotenv.2020.138609).
- Rai, M., Acharya, D., Singh, A., & Varma, A. (2001). Positive growth responses of the medicinal plants *Spilanthes calva* and *Withania somnifera* to inoculation by *Piriformospora indica* in a field trial. *Mycorrhiza*, 11, 123-128. doi: [10.1007/s005720100115](https://doi.org/10.1007/s005720100115).
- Swetha, S., & Padmavathi, T. (2020). Mitigation of drought stress by *Piriformospora indica* in *Solanum melongena* L. cultivars. *Proceedings of the National Academy of Sciences, India Section B: Biological Sciences*, 90(3), 585-593. doi: <https://doi.org/10.1007/s40011-019-01128-3>.
- Tyagi, J., Mishra, A., Kumari, S., Singh, S., Agarwal, H., Pudake, R. N., Varma, A., & Joshi, N. C. (2023). Deploying a microbial consortium of *Serendipita indica*, *Rhizophagus intraradices*, and *Azotobacter chroococcum* to boost drought tolerance in maize. *Environmental & Experimental Botany*, 206, 105142. doi: [10.1016/j.envexpbot.2022.105142](https://doi.org/10.1016/j.envexpbot.2022.105142).
- Tyagi, J., Varma, A., & Pudake, R. N. (2017). Evaluation of comparative effects of arbuscular mycorrhiza (*Rhizophagus intraradices*) and endophyte (*Piriformospora indica*) association with finger millet (*Eleusine coracana*) under drought stress. *European Journal of Soil Biology*, 81, 1-10. doi: [10.1016/j.ejsobi.2017.05.007](https://doi.org/10.1016/j.ejsobi.2017.05.007).
- Xu, J., Guo, L., & Liu, L. (2022). Exogenous silicon alleviates drought stress in maize by improving growth, photosynthetic and antioxidant metabolism. *Environmental & Experimental Botany*, 201, 104974. doi: [10.1016/j.envexpbot.2022.104974](https://doi.org/10.1016/j.envexpbot.2022.104974).
- Zia, R., Nawaz, M. S., Siddique, M. J., Hakim, S., & Imran, A. (2021). Plant survival under drought stress: Implications, adaptive responses, and integrated rhizosphere management strategy for stress mitigation. *Microbiological Research*, 242, 126626. doi: [10.1016/j.micres.2020.126626](https://doi.org/10.1016/j.micres.2020.126626).